

МИНИСТЕРСТВО ОБОРОНЫ РОССИЙСКОЙ ФЕДЕРАЦИИ

**МАТЕМАТИЧЕСКИЕ МЕТОДЫ  
РЕШЕНИЯ ИНЖЕНЕРНЫХ ЗАДАЧ**

Научно-методические материалы

Под редакцией

доктора технических наук **В. В. ЕЛАЖЕНКОВА,**  
доктора физико-математических наук **А. В. ЧЕЧКИНА**

МОСКВА 2013

Очередной выпуск сборника научно-методических материалов «Математические методы решения инженерных задач» состоит из параграфов – статей, относящихся к различным разделам современной математики и ее приложений. Отличительной особенностью сборника является постоянное внимание редакторов как к методам НЕПЕРЫВНОЙ МАТЕМАТИКИ, которые используются для моделирования разнообразных физических систем, так и к методам ДИСКРЕТНОЙ МАТЕМАТИКИ, которые лежат в основе моделирования информационных систем различного назначения. Все статьи объединяются научно-инженерной направленностью. Каждая статья выверена авторами и содержит строго математическую формулировку результата.

Материалы сборника могут представлять интерес для научных сотрудников, инженеров, для адъюнктов и курсантов старших курсов.

## СОДЕРЖАНИЕ

Бежаева З.И., Келдыш Н.А., Олехова Е.Ф., Оселедец В.И. Блочные матрицы, графы и скрытые марковские цепи .....	4
Белоцерковская Ю.С., Перепелица В.А. Влияние включения в ВЦФ топологических критериев на устойчи- вость векторных задач с аддитивными критериями .....	14
Блаженков В.В. Графики неявных функций в системе Mathcad .....	23
Власова Л.И. Группы гомоморфизмов вполне разно- жимых абелевых групп без кручения .....	28
Иванова Е.Л., Келдыш Е.П. Уравнения движения двухфазного потока с учётом силы взаимодействия между фазами .....	33
Казей С.И., Казей И.С. Расчёт сферической полостей оболочки на моментное нагружение жёсткого центра .....	40
Куликов В.Л., Оселедец В.И. Точные формулы для энтропии некоторых скрытых марковских цепей .....	49
Макаров-Землянский Н.В., Олехов В.Л. Метод зондов в динамическом анализе приложений .....	58
Олехова Е.Ф. Использование инструментов системы Mathpa для решения и исследования задачи оптимального выбора инвестора .....	65
Попова Е.М., Келдыш Е.П. Об улучшении операторов продолжения с помощью операторов усреднения с сохранением граничных условий .....	78
Соболева Т.С., Чечкин А.В., Крапоткин В.Г. Мате- матическая классификация систем .....	86
Царькова Е.В. Математические модели конфликтных ситуаций в условиях неопределённости .....	99
Чечкин А.В., Соболева Т.С., Крапоткин В.Г. Понятие информации о системе .....	116



### Блочные матрицы, графы и скрытые марковские цепи

**1. Введение.** В этой статье мы обсудим связь теории скрытых марковских цепей с теорией графов и с линейной алгеброй. Связь теории графов и линейной алгебры известна в теории электрических цепей, теории сетей, теории конечных автоматов [2]. Формулы, отражающие эту связь, называют топологическими.

Рассмотрим блочную матрицу  $M = (M_{ij})$  и ориентированный граф  $G$  с вершинами  $\{1, 2, \dots, N\}$ , где  $N$  – порядок блочной матрицы  $M$ . Далее  $(i, j)$  – ребро графа, если матрица  $M_{ij}$  – ненулевая матрица.

Граф  $G$  – нагруженный граф с нагрузкой  $M_{ij}$  на ребре  $(i, j)$ . Другое название нагрузки – матричный вес ребра. Для пути в графе его матричный вес есть произведение весов рёбер пути вдоль пути.

Мы также рассмотрим ориентированный граф  $\bar{G}$ , отвечающий матрице  $M$  как обычной числовой матрице. Заметим, что числовую матрицу можно рассматривать как блочную, в которой блоки – это матрицы первого порядка, т.е. обычные числа.

Мы будем предполагать, что матрица  $M$  – неотрицательная матрица со спектральным радиусом 1. Это означает, что все собственные значения по абсолютной величине не превосходят 1, и 1 – собственное значение.

Кроме того, предположим, что граф  $G$ , отвечающий матрице  $M$ , это сильно связный граф, т.е. из любой вершины есть путь в любую вершину. Для числовой матрицы граф  $G = \bar{G}$ . Это условие равносильно простоте собственного значения 1.

Для матрицы  $M$  существуют неотрицательные блочные строка  $l = (l_1, l_2, \dots, l_n)$  и столбец  $r = (r_1, r_2, \dots, r_n)^T$  такие, что  $lM = l$ ,  $Mr = r$ . Это позволяет определить для пути  $i_1 i_2 \dots i_n$  его вероятность

$$Prob(i_1 i_2 \dots i_n) = \frac{l_{i_1} M_{i_1 i_2} \dots M_{i_{n-1} i_n} r_{i_n}}{lr}$$

Кроме того, определим вероятность вершины  $i$  по формуле

$$Prob(i) = \frac{l_i r_i}{lr}$$

Можно считать, что вершина – это путь нулевой длины. Вероятности путей позволяют определить случайный бесконечный путь в графе. Вероятность того, что его любой начальный кусок совпадёт с данным конечным путём, равна вероятности этого конечного пути. Распределение случайного пути в пространстве бесконечных путей даёт вероятностную меру, инвариантную относительно сдвига в пространстве путей, когда из исходного пути удаляется начальная вершина пути [1].

Вершины случайного пути образуют стационарный процесс. Он называется стационарной скрытой марковской цепью, а мера в пространстве путей называется скрытой марковской мерой. Для числовой матрицы эта конструкция даёт стационарную марковскую цепь. В частности для блочной матрицы  $M$  мы получаем скрытую марковскую цепь на графе  $G$  и марковскую цепь на графе  $\bar{G}$ .

Скрытая марковская цепь – функция от марковской цепи. Функция сопоставляет вершине графа  $\bar{G}$  номер блока, содержащего эту вершину.

Интересная особенность матричных весов путей по сравнению с числовыми весами заключается в том, что матричный вес пути может быть нулевым, что невозможно для числовых весов. Поэтому носитель марковской меры на пространстве бесконечных путей это все пространство путей, а для скрытых марковских мер это, вообще говоря, неверно.

Носитель скрытой марковской меры называется софическим множеством.

**2. Связь между неотрицательными матрицами и нагруженными графами.** Рассмотрим некоторую неотрицательную числовую матрицу  $M$  и соответствующий ей граф  $G$ .

Пусть  $\lambda$  – максимальное по модулю собственное число матрицы  $M$ . В табл. 1 описаны свойства матрицы  $M$  и графа  $G$ .

Таблица 1

Матрица $M$	Граф $G$
$\lambda$ – простое собственное значение матрицы $M$	сильно связанный ациклический
$ \lambda  < 1 \quad \forall i$	$d$ -
$\lambda, \varepsilon \lambda, \dots, \varepsilon^{d-1} \lambda$	периодический
– все периферические собственные числа, где $\varepsilon = e^{\frac{2\pi i}{d}}$ – корень из 1	

3. Топологические формулы Гуревича. Известны топологические формулы Гуревича [3].

Если числовая матрица  $M$  неприводима, т.е. её граф  $G$  сильно связан, то имеет место уравнение для  $\lambda$ :

$$\sum_c \frac{M(c)}{\lambda^{|c|}} = 1, \quad (1)$$

где  $c$  – циклы первого возвращения,  $M(c)$  – вес цикла первого возвращения в вершину  $i$ , а  $|c|$  – длина цикла.

Пусть  $l$  и  $r$  – левый и правый положительные собственные векторы матрицы  $M$ , тогда имеют место следующие формулы.

$$r_i = \sum_y \frac{M(y)}{\lambda^{|y|}} \cdot \tau_y, \quad (2)$$

где  $y$  – пути, приводящие из  $i$  в  $\nu$  впервые,  $|y|$  – длина пути.

$$l_i = l_\nu \sum_y \frac{M(y)}{\lambda^{|y|}}, \quad (3)$$

где  $y$  – пути, приводящие из  $\nu$  в  $i$  впервые, без захода в  $\nu$  (кроме начала),  $|y|$  – длина пути.

Следует отметить, что формула (1) следует из (2) и (3).

**Пример 1.** Рассмотрим граф (рис. 1), где матрица смежности  $M$  имеет вид

$$M = \begin{pmatrix} 1 & 1 \\ 1 & 0 \end{pmatrix}.$$

Пусть  $\lambda$  – спектральный радиус матрицы  $M$ .

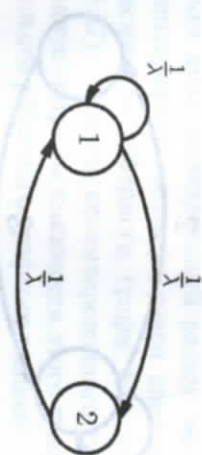


Рис. 1

В вершине 1 два цикла первого возвращения: 11, 121. Их веса 1 и 1, согласно формуле (1):

$$\frac{1}{\lambda} + \frac{1}{\lambda^2} = 1.$$

Отсюда  $\lambda^2 = \lambda + 1$ , т.е.  $\lambda$  – золотое сечение.

Для вершины 2 циклы первого возвращения имеют вид  $c_k = 2(1)^{k-2}$ ,  $k = 1, 2, \dots$ ,  $|c_k| = k + 1$ , и из уравнения (1) следует, что

$$\frac{1}{\lambda^2} + \frac{1}{\lambda} \left( \frac{1}{\lambda} \right) + \frac{1}{\lambda} \left( \frac{1}{\lambda^2} \right) + \dots = 1,$$

$$\frac{1}{\lambda^2} \cdot \frac{1}{1 - \frac{1}{\lambda}} = 1,$$

$$\frac{1}{\lambda^2 - \lambda} = 1.$$

Откуда снова получаем

$$\lambda^2 = \lambda + 1.$$

**Пример 2.** Рёберный граф для данного графа, это такой новый граф, у которого вершинами являются рёбра старого графа, а его рёбра соединяют старое ребро  $i$  с такими старыми рёбрами  $j$ , что начало ребра  $j$  совпадает с концом ребра  $i$ .

Рассмотрим граф из примера 1, пронумеруем его рёбра (рис. 2).



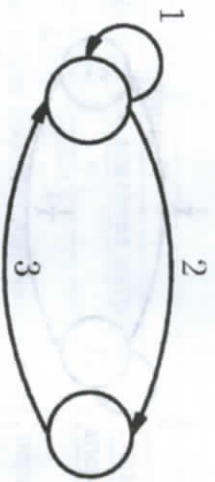


Рис. 2

Рёберный граф, соответствующий данному, изображён на рис. 3.

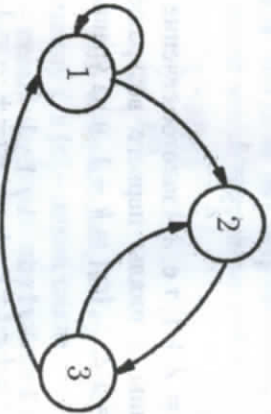


Рис. 3

Матрица смежности  $M$  рёберного графа равна

$$M = \begin{pmatrix} 1 & 1 & 0 \\ 0 & 0 & 1 \\ 1 & 1 & 0 \end{pmatrix}.$$

Циклы первого возвращения в вершину 1 рёберного графа имеют вид:  $c_1 = 11$ ,  $c_2 = 1231$ ,  $c_k = 1(23)^{k+1}1$ ,  $k = 1, 2, \dots$ ,  $|c_k| = 2k + 3$ .

Уравнение (1) даёт

$$\frac{1}{\lambda} + \frac{1}{\lambda^3} + \sum_{k=1}^{\infty} \frac{1}{\lambda^{2k+3}} = 1.$$

Откуда

$$\frac{1}{\lambda} \cdot \frac{1}{1 - \frac{1}{\lambda^2}} = 1$$

и  $\lambda^2 = \lambda + 1$ .

На самом деле, спектральный радиус матрицы смежности любого ориентированного графа равен спектральному радиусу матрицы смежности рёберного графа. Мы можем определить число  $\lambda = \lambda(G)$  любого ориентированного графа  $G$  как спектральный радиус матрицы смежности этого графа. Тогда эти числа для графа и его рёберного графа совпадают.

#### Замечание об ориентированных мультиграфах.

Мультиграф — это граф, в котором две вершины могут быть соединены несколькими рёбрами.

Для мультиграфа  $G$  число  $\lambda = \lambda(G)$  определим как спектральный радиус матрицы смежности рёберного графа для мультиграфа  $G$ .

4. Связь между блочными неотрицательными матрицами и нагруженными графами. Пусть спектральный радиус ненулевой неотрицательной блочной матрицы  $M$  с сильно связным графом  $G$  равен 1. Вспомним, что вероятность цикла  $u$  с началом  $i$  и концом  $i$  равна

$$Prob(u) = \frac{l_i M(u) r_i}{l_i r_i}.$$

Условное распределение вероятностей на множестве всех бесконечных путей  $c_1 c_2 \dots c_m \dots$ , составленных из циклов первого возвращения определяется формулой

$$Prob(c_1 c_2 \dots c_m) = \frac{l_1 M(c_1) M(c_2) \dots M(c_m) r_1}{l_1 r_1}.$$

Из условия согласованности конечномерных распределений для этого условного распределения следует, что

$$l_i M(c_1) M(c_2) \dots M(c_m) r_i = l_i M(c_1) M(c_2) \dots M(c_m) \sum_c M(c) r_i.$$

Отсюда

$$l_i M(c_1) M(c_2) \dots M(c_m) s_i = 0,$$

где  $s_i = \sum_c M(c) r_i - r_i$  для любого набора циклов  $c_1, c_2, \dots, c_m$ .

Если набор строк  $l_i M(c_1) M(c_2) \dots M(c_m)$  является порождающим множеством для пространства всех строк, то  $s_i = 0$ , и если  $M_i = \sum_c M(c)$ , то  $M_i r_i = r_i$ .

Условие инвариантности условной меры относительно перхода от пути  $c_1 c_2 c_3 \dots$  к пути  $c_2 c_3 \dots$  даёт равенство  $l_i M_i = l_i$ , если множество столбцов  $M(c_1)M(c_2) \dots M(c_m) \tau_i$  является порождающим для пространства всех столбцов.

При этих условиях справедливо

**Утверждение 1.** Для данной вершины  $i$  рассмотрим сумму  $M_i$  матричных весов циклов первого возвращения в эту вершину. Тогда спектральный радиус матрицы  $M_i$  равен 1 и

$$l_i M_i = l_i, \quad M_i \tau_i = \tau_i.$$

В случае числовой матрицы это утверждение приводит к первой формуле Гуревича.

Действительно, если спектральный радиус числовой матрицы  $M$  равен  $\lambda_1$ , то спектральный радиус матрицы  $\frac{M}{\lambda_1}$  равен 1. Для этой матрицы вес цикла  $c$  первого возвращения равен весу для матрицы  $M$  делённому на  $|\lambda_1|^c$ . Так как для числовой матрицы  $M_i$ ,  $l_i \tau_i$  это ненулевые числа, то число  $M_i$  равно 1 в силу утверждения 1. Получается первая формула Гуревича.

**Утверждение 2.** В условиях утверждения 1 справедливы «матричные» формулы Гуревича:

$$\tau_i = \sum_Y \frac{M(Y)}{\lambda^{|Y|}} \cdot \tau_i,$$

где суммирование идёт по путям  $Y$ , приводящим из  $i$  в  $v$  и в  $v$  в  $i$ ,  $|Y|$  — длина пути, а  $M(Y)$  — матричный вес пути  $Y$ .

$$l_i = l_v \sum_Y \frac{M(Y)}{\lambda^{|Y|}}$$

где суммирование идёт по путям  $Y$ , приводящим из  $v$  в  $i$  без захода в  $v$  (кроме начала),  $|Y|$  — длина пути, а  $M(Y)$  — матричный вес пути  $Y$ .

**Пример 3.** Рассмотрим нагруженный граф (рис. 4), где

$$a = \begin{pmatrix} 1 & 1 \\ 0 & 1 \end{pmatrix}, \quad b = \begin{pmatrix} 1 & 0 \\ 1 & 1 \end{pmatrix},$$

$$M = \begin{pmatrix} a & b \\ a & 0 \end{pmatrix} = \begin{pmatrix} 1 & 1 & 1 & 0 \\ 0 & 1 & 1 & 1 \\ 1 & 1 & 0 & 0 \\ 0 & 1 & 0 & 0 \end{pmatrix}$$

— блочная матрица, а  $\lambda$  — спектральный радиус матрицы  $M$ .

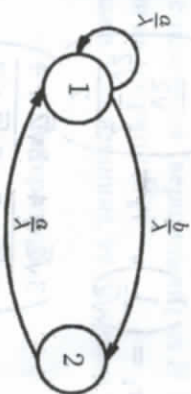


Рис. 4

Обозначим  $r = \begin{pmatrix} r_1 \\ r_2 \end{pmatrix}$  — блочный собственный вектор матрицы  $M$ , соответствующий собственному значению  $\lambda$ . Тогда

$$\frac{1}{\lambda} \begin{pmatrix} a & b \\ a & 0 \end{pmatrix} \cdot \begin{pmatrix} r_1 \\ r_2 \end{pmatrix} = \begin{pmatrix} r_1 \\ r_2 \end{pmatrix}.$$

То есть

$$\frac{1}{\lambda} \begin{pmatrix} ar_1 + br_2 \\ ar_1 \end{pmatrix} = \begin{pmatrix} r_1 \\ r_2 \end{pmatrix}.$$

Получаем систему уравнений

$$\begin{cases} \frac{1}{\lambda} ar_1 + \frac{1}{\lambda} br_2 = r_1, \\ \frac{1}{\lambda} ar_1 = r_2. \end{cases}$$

Откуда следует

$$\begin{cases} \frac{1}{\lambda} ar_1 + \frac{1}{\lambda^2} br_2 = r_1, \\ \frac{1}{\lambda} ar_1 = r_2. \end{cases}$$

$$\begin{pmatrix} 1 - \frac{1}{\lambda} a + \frac{1}{\lambda^2} ba \\ \frac{1}{\lambda} a \end{pmatrix} r_1 = r_1.$$

Обозначим

$$\frac{1}{\lambda} a + \frac{1}{\lambda^2} ba = U.$$



Если  $x = \frac{1}{\lambda}$ , то

$$\det(U - E) = (x - 1)(x + 1)(x^2 + 2x - 1) = 0.$$

Отсюда в нашем примере

$$x = \sqrt{2} - 1, \lambda = \sqrt{2} + 1,$$

$$r_1 = \begin{pmatrix} 1 \\ 1 \\ \sqrt{2} \end{pmatrix}, \quad r_2 = \begin{pmatrix} 1 \\ 2 - \sqrt{2} \\ 2 \end{pmatrix}$$

$$U = \begin{pmatrix} 3\sqrt{2} + 4 & 3\sqrt{2} + 4 \\ 5\sqrt{2} + 7 & 5\sqrt{2} + 7 \\ 1 & 4\sqrt{2} + 5 \\ 2\sqrt{2} + 3 & 5\sqrt{2} + 7 \end{pmatrix}.$$

Проверим выполнение соотношения для  $r_1$ :

$$\begin{aligned} Ur_1 &= \begin{pmatrix} 3\sqrt{2} + 4 & 3\sqrt{2} + 4 \\ 5\sqrt{2} + 7 & 5\sqrt{2} + 7 \\ 1 & 4\sqrt{2} + 5 \\ 2\sqrt{2} + 3 & 5\sqrt{2} + 7 \end{pmatrix} \cdot \begin{pmatrix} 1 \\ 1 \\ \sqrt{2} \end{pmatrix} = \\ &= \begin{pmatrix} 1 & 1 \\ 29\sqrt{2} + 41 & 41 \\ 41\sqrt{2} + 58 & 58 \end{pmatrix} = \begin{pmatrix} 1 \\ 1 \\ \sqrt{2} \end{pmatrix} = r_1. \end{aligned}$$

Для  $r_2$ :

$$\begin{aligned} \frac{1}{\lambda} ar_1 &= \frac{1}{\sqrt{2} + 1} \begin{pmatrix} 1 & 1 \\ 0 & 1 \end{pmatrix} \cdot \begin{pmatrix} 1 \\ 1 \\ \sqrt{2} \end{pmatrix} = \begin{pmatrix} \sqrt{2} + 1 \\ \sqrt{2} + 2 \\ 1 \end{pmatrix} = \begin{pmatrix} 1 \\ \sqrt{2} \\ 2 - \sqrt{2} \end{pmatrix} = r_2. \end{aligned}$$

**Замечание об ориентированных мультиграфах.**

Положим  $M_{ij}$  равным сумме матричных весов рёбер мультиграфа  $H$  между его вершинами  $i$  и  $j$ .

Рассмотрим блочную матрицу  $M$  с элементами  $M_{ij}$ . Тогда спектральный радиус блочной матрицы  $M$  равен 1.

Утверждение 1 можно обобщить следующим образом. Пусть  $H$  — подграф графа  $G$ . Рассмотрим пути первого возвращения в этот подграф.

Если считать эти пути  $u$  новыми рёбрами между вершинами подграфа с весом  $M(u)$ , то получим нагруженный мультиграф  $H$ .

Обобщение утверждения 1 заключается в том, что блочные строка и столбец с номерами (вершинами) из  $H$  будут инвариантны при умножении на матрицу  $M$ .

Если в  $H$  только одна вершина, то получим утверждение 1.

#### Литература

1. Бежаева З.И., Оселедец В.И. Меры Эрдеша, софические меры и марковские цепи. Зап. научн. сем. ПОМИ, 326, 28-47, 2005.
2. С. Сешу, М.Б. Рид. Линейные графы и электрические цепи. М.: «Высшая школа», 1971.
3. Güreşich V. Some applications of oriented graphs to matrix theory and entropy theory of dynamical systems. Glazov. Mathematische Berichte, 354, 73 – 83, 2009.